
Фоточувствительность и отражательная способность активного слоя в органическом солнечном элементе основанном на таммовском плазмон-поляритоне

A Preprint

Р. Г. Бикбаев

Институт физики им. Л.В. Киренского СО РАН, Красноярск, Россия
Сибирский федеральный университет, Красноярск, Россия

С. Я. Ветров

Институт физики им. Л.В. Киренского СО РАН, Красноярск, Россия
Сибирский федеральный университет, Красноярск, Россия

И. В. Тимофеев

Институт физики им. Л.В. Киренского СО РАН, Красноярск, Россия
Сибирский федеральный университет, Красноярск, Россия

В. Ф. Шабанов

Институт физики им. Л.В. Киренского СО РАН, Красноярск, Россия
Сибирский государственный университет науки и технологий
имени академика М.Ф. Решетнева, Красноярск, Россия

2 марта 2020 г.

Abstract

Предложена модель органического солнечного элемента, в которой фоточувствительный слой принимает участие в формировании таммовского плазмон-поляритона, локализованного на её границе с многослойным зеркалом. Показано, что при конструировании таких солнечных элементов можно полностью отказаться от использования металлических контактов, что позволяет избежать нежелательных потерь в системе. Установлено, что интегральное поглощение в активном слое может быть увеличено на 10% по сравнению с оптимизированным планарным солнечным элементом.

Keywords Таммовский плазмон-поляритон, органический солнечный элемент, фоточувствительный слой, локализация света

1 Введение

Органические солнечные элементы (ОСЭ) на основе сопряженных полимеров привлекают к себе все большее внимания в связи с их низкой стоимостью, легкостью изготовления, малым весом и механической гибкостью солнечных панелей, полученных с помощью технологий рулонной печати [1–3]. Подобные ОСЭ содержат объемный гетеропереход, вследствие чего идет поиск компромисса между эффективностями поглощения фотонов и транспортировки носителей заряда. Толщина фоточувствительного слоя (ФЧС), в этом случае, составляет не больше 100 нм, что значительно ограничивает эффективность поглощения падающего света. В связи с этим, широкое распространение получили методы манипуляции светом для увеличения поглощения в фоточувствительном слое. Введение периодических или случайных

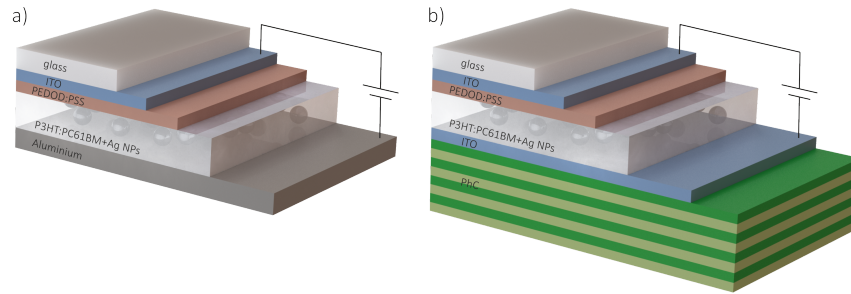


Рис. 1: (а) Схематичное изображение органического солнечного элемента, допированного плазмонными наночастицами и (б) схематическое изображение солнечного элемента на основе таммовского плазмон-поляритона.

структур в ФЧС или в интерфейсы ОСЭ приводит к перераспределению оптического поля в них и усилению поглощения фотонов за счет внутреннего рассеяния или эффекта плазмонного резонанса. Так в 2009 году была экспериментально продемонстрирована возможность увеличения поглощения света в фотоактивном слое, содержащем наночастицы серебра [4]. В следующем году в оптически тонких пленках poly-3-hexylthio-phene-phenyl-C61-butyric (P3HT:PC61BM) с плазмонно-резонансными серебряными нанопризмами наблюдалось трехкратное усиление генерации носителей заряда [5]. Для формирования более широкой линии поглощения в фотоактивном слое было предложено использование наночастиц различной формы [6]. В последствие это направление получило широкое развитие, благодаря бурному развитию технологий изготовления наномасштабных объектов. Было продемонстрировано, что эффективность ОСЭ может быть повышена за счет внедрения в ФЧС нанопроводов [7], наностержней [3], частиц в форме кубов, додекаэдров, октаэдров и треугольных пластинок [8]. Не менее важным способом повышения эффективности ОСЭ является структурирование границы раздела металл-полупроводник, приводящее к возбуждению поверхностного плазмон-поляритона. В таких структурах металлические контакты принимают участие не только в сборе носителей заряда, но и при увеличении их концентрации.

Другим перспективным направлением является внедрение в ОСЭ 1D фотонных кристаллов (ФК). Расположение ФК за металлическим контактом приводит к тому, что практически 100% излучения, падающего на него, отражается и проходит через активный слой вторично, тем самым увеличивая эффективность ОСЭ [9–12]. В этом случае открывается возможность использования более тонких металлических пленок в качестве контактов и, как следствие, уменьшения потерь в ОСЭ. Замена прозрачного контакта ФК-структурой приводит к тому, что активный слой остается между металлической пленкой и ФК. Как известно, в подобных структурах могут возбуждаться таммовские плазмон-поляритоны [13], на длине волны которых возникают дополнительные линии поглощения излучения в активном слое. Этот механизм увеличения эффективности ОСЭ был продемонстрирован в работе [14]. Автор показал, что благодаря возбуждению таммовского плазмон-поляритона (ТПП), интегральное поглощение в активном слое может быть увеличено с 26.3% до на 35.3% в исследуемом интервале длин волн. В рассмотренных моделях фоточувствительный слой является пассивным поглощающим элементом, не принимающим участие в формировании локализованных состояний.

Новой является идея использования допированного фоточувствительного слоя в качестве зеркала, ограничивающего одномерный фотонный кристалл. В этом случае, на их границе раздела локализуется ТПП [15–17], что приводит к возникновению дополнительной полосы поглощения падающего на структуру излучения и, как следствие, увеличению эффективности ОСЭ. Привлекательность такой структуры заключается в том, что можно полностью отказаться от металлического контакта, обеспечив поглощение только в ФЧС слое.

2 Описание модели

Модель органического солнечного элемента, предложенного нами, изображена на рисунке 1b. В отличие от ранее изученного солнечного элемента (Рис. 1а) [18, 19], в нашей модели фоточувствительный слой ограничивает не металлическую пленку, а одномерный фотонный кристалл. Увеличение поглощения в фоточувствительном слое, в этом случае, достигается как за счет 100% отражения излучения от фотонного кристалла, так и при помощи формирования дополнительной полосы поглощения на

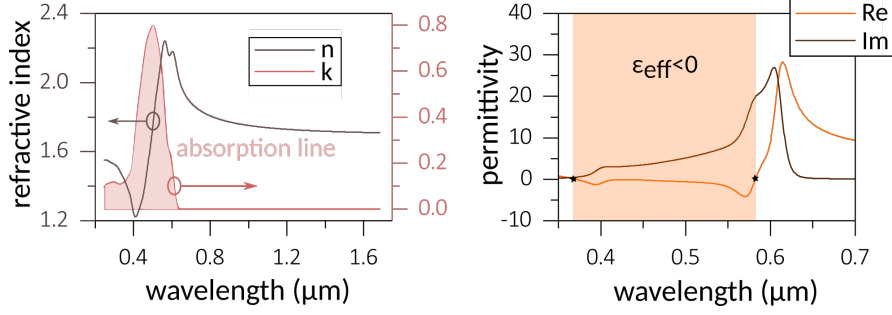


Рис. 2: (а) Зависимости действительной и мнимой части показателя преломления РЗНТ:РС61ВМ и (б) зависимости действительной и мнимой части эффективной диэлектрической проницаемости фоточувствительного слоя, допированного плазмонными наночастицами, от длины волны падающего излучения.

длине волны ТПП, локализованного на границе ФЧС-ФК. Слой РЗНТ:РС61ВМ+АgNPs [20] толщиной 50 нм, допирован серебряными наночастицами с объемной концентрацией 20%. Толщина слоя poly(3,4-ethylenedioxythiophene) polystyrene sulfonate (PEDOT:PSS) [21] равна 20 нм. В качестве контактов использованы пленки ИТО с толщинами 15 нм и 45 нм. Элементарная ячейка фотонного кристалла сформирована из двуоксида кремния (SiO_2) и диоксида титана (TiO_2) с толщинами $d_{\text{SiO}_2} = 75$ нм, $d_{\text{TiO}_2} = 40$ нм и диэлектрическими проницаемостями $\epsilon_{\text{SiO}_2} = 1.45$ и $\epsilon_{\text{TiO}_2} = 2.4$, соответственно.

Зависимости действительной и мнимой частей показателя преломления РЗНТ:РС61ВМ от длины волны падающего излучения изображены на рисунке 2а. Из рисунка видно, что мнимая часть показателя преломления принимает максимальное значение в интервале длин волн от 350 до 600 нм и, как следствие, падающее на структуру излучение будет поглощаться ею именно в этом спектральном диапазоне. В длинноволновой области спектра поглощение близко к нулю.

Эффективная диэлектрическая проницаемость фоточувствительного слоя РЗНТ:РС61ВМ+АgNPs, допированного плазмонными наночастицами, определяется с помощью модели эффективной среды [22]:

$$\epsilon_{\text{eff}} = \epsilon_d \left[1 + \frac{f(\epsilon_m(\omega) - \epsilon_d)}{\epsilon_d + (1-f)(\epsilon_m(\omega) - \epsilon_d)1/3} \right], \quad (1)$$

где f – фактор заполнения, то есть, объемная доля наночастиц в матрице; ϵ_d и $\epsilon_m(\omega)$ – диэлектрические проницаемости соответственно матрицы и металла, из которого изготовлены наночастицы; ω – частота излучения. Диэлектрическую проницаемость металла, из которого изготовлены наночастицы, найдем, используя приближение Друде:

$$\epsilon_m(\omega) = \epsilon_\infty - \frac{\omega_p^2}{\omega^2 + i\omega\gamma}, \quad (2)$$

где ϵ_∞ – постоянная, учитывающая вклады межзонных переходов связанных электронов; ω_p – плазменная частота; γ – величина, обратная времени релаксации электронов. Для серебра $\epsilon_0 = 5$, $\omega_p = 9$ эВ и $\gamma = 0.02$ эВ.

3 Результаты расчета

Зависимости действительной и мнимой части эффективной диэлектрической проницаемости, рассчитанные по формуле 1, от длины волны падающего излучения изображены на рисунке 2б. Из рисунка видно, что мнимая часть ДП достигает максимального значения на длине волны 600 нм, что обусловлено плазмонным резонансом в наночастицах. Также отметим, что действительная часть принимает отрицательные значения в широком интервале длин волн (от 360 до 570 нм) и, как следствие, в этом интервале активный слой выступает в качестве металлического зеркала. Сопряжение активного слоя, обладающего подобными спектральными характеристиками, с фотонным кристаллом приведет к формированию на их границе раздела таммовского плазмон-поляритона. Для подтверждения этого факта методом трансфер-матрицы [23] был произведен расчет интегрального поглощения в слое РЗНТ:РС61ВМ+АgNPs для классического планарного солнечного элемента и солнечного элемента, сопряженного с ФК. Результаты расчета изображены на рисунке 3а. Под интегральным поглощением мы подразумеваем

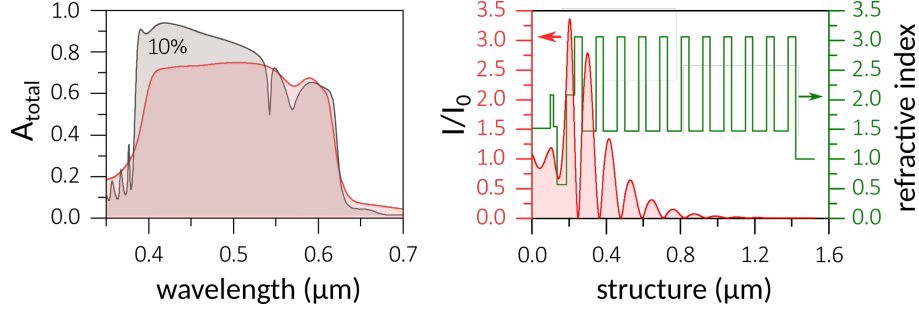


Рис. 3: (а) Интегральное поглощение в фоточувствительном слое в структурах ITO/PEDOT:PSS/P3HT:PC61BM+AgNPs/Al и ITO/PEDOT:PSS/P3HT:PC61BM+AgNPs/ITO/PhC и (б) пространственное распределение показателя преломления в структуре и локальной интенсивности поля на длине волны ТПП.

поглощение в фоточувствительном слое, нормированный на спектр солнечного излучения. В общем случае, интегральное поглощение определяется отдельно для каждой поляризации A_{TE} и A_{TM} , а их среднее арифметическое $A_{total} = (A_{TE} + A_{TM})/2$ дает полное поглощение в слое. В случае нормального падения $A_{total} = A_{TE} = A_{TM}$ и может быть определено как:

$$A_{total} = \frac{\int_{\lambda_1}^{\lambda_2} A(\lambda) S(\lambda) d\lambda}{\int_{\lambda_1}^{\lambda_2} S(\lambda) d\lambda}, \quad (3)$$

где $\lambda_1 = 350$ nm, $\lambda_2 = 700$ nm, $A(\lambda)$ – поглощение в слое P3HT:PC61BM+AgNPs, $S(\lambda)$ – спектр солнечного излучения (AM1.5).

Расчеты показали, что в предложенной модели ОСЭ интегральное поглощения в исследуемом интервале длин волн увеличивается на $\approx 10\%$ (с 50.52% до 55.36%), в сравнении с аналогичным планарным ОСЭ (Рис. 1а). Это достигается за счет формирования таммовского плазмон-поляритона, локализованного на границе фотонного кристалла и активного слоя, допированного плазмонными наночастицами. На длине волны ТПП ($\lambda_{TPP} = 400$ nm), эффективная диэлектрическая проницаемость фоточувствительного слоя равна $\epsilon_{eff} = -1.007 + 2.716i$. Пространственное распределение поля на длине волны ТПП изображено на рисунке 3б.

Из рисунка видно, что поле локализовано на границе ФК и фоточувствительного слоя и экспоненциально затухает по обе стороны от их границы раздела. При этом поле локализовано в области соизмеримой с длиной волны света. Важно отметить, что интенсивность поля на длине волны ТПП лишь в 3.5 раза больше интенсивности падающего поля. Столь незначительное усиление может быть объяснено формированием на границе ФЧС-ФК таммовского плазмон-поляритона с широкой спектральной линией. Формирование такого рода состояний возможно в системах с большими потерями, как это было продемонстрировано в работе [24]. В нашу структуру мы имеем аналогичную ситуацию, так как действительная часть эффективной диэлектрической проницаемости ФЧС на длине волны ТПП практически в 3 раза меньше её мнимой части.

4 Заключение

В работе предложена модель органического солнечного элемента, в котором фоточувствительный слой выступает не только в роли поглотителя, но и зеркала, принимающего участие в формировании локализованного состояния. Энергетические спектры структуры и распределение локальной интенсивности в ней рассчитаны методом трансфер матрицы. Показано, что в предложенной модели интегральное поглощение в фоточувствительном слое увеличивается на 10% в сравнении с ранее предложенной моделью ОСЭ. Установлено, что увеличение поглощения в этом случае достигается за счет формирования дополнительной полосы поглощения в ОСЭ, и обусловлено формированием на границе фоточувствительного слоя и фотонного кристалла таммовского плазмон-поляритона.

Список литературы

- [1] H. A. Atwater and A. Polman. Plasmonics for improved photovoltaic devices. *Nature Materials*, 9(3):205–213, 2010.
- [2] A. J. Heeger. 25th anniversary article: Bulk heterojunction solar cells: Understanding the mechanism of operation. *Advanced Materials*, 26(1):10–28, 2014.
- [3] Z. He, B. Xiao, F. Liu, H. Wu, Y. Yang, S. Xiao, C. Wang, T. P. Russell, and Y. Cao. Single-junction polymer solar cells with high efficiency and photovoltage. *Nature Photonics*, 9(3):174–179, 2015.
- [4] D. Duche, P. Torchio, L. Escoubas, F. Monestier, J. J. Simon, F. Flory, and G. Mathian. Improving light absorption in organic solar cells by plasmonic contribution. *Solar Energy Materials and Solar Cells*, 93(8):1377–1382, 2009.
- [5] A. P. Kulkarni, K. M. Noone, K. Munechika, S. R. Guyer, and D. S. Ginger. Plasmon-Enhanced Charge Carrier Generation in Organic Photovoltaic Films Using Silver Nanoprisms. *Nano Letters*, 10(4):1501–1505, 2010.
- [6] X. Li, Wallace Chik Ho Choy, H. Lu, Wei E I Sha, and Aaron Ho Pui Ho. Efficiency Enhancement of Organic Solar Cells by Using Shape-Dependent Broadband Plasmonic Absorption in Metallic Nanoparticles. *Advanced Functional Materials*, 23(21):2728–2735, 2013.
- [7] C. H. Kim, S. H. Cha, S. Chul Kim, M. Song, J. Lee, W. Suk Shin, S. J. Moon, J. Hwan Bahng, N. A. Kotov, and S. H. Jin. Silver Nanowire Embedded in P3HT:PCBM for High-Efficiency Hybrid Photovoltaic Device Applications. *ACS Nano*, 5(4):3319–3325, 2011.
- [8] W. H. Tseng, C. Y. Chiu, S. W. Chou, H. C. Chen, M. L. Tsai, Y. C. Kuo, D. H. Lien, Y. C. Tsao, K. Y. Huang, C. T. Yeh, J. He, C. Wu, M. H. Huang, and P. Chou. Shape-Dependent Light Harvesting of 3D Gold Nanocrystals on Bulk Heterojunction Solar Cells: Plasmonic or Optical Scattering Effect? *The Journal of Physical Chemistry C*, 119(14):7554–7564, 2015.
- [9] W. Yu, L. Shen, Y. Long, W. Guo, F. Meng, S. Ruan, X. Jia, H. Ma, and W. Chen. Semitransparent polymer solar cells with one-dimensional WO₃/LiF photonic crystals. *Applied Physics Letters*, 101(15):153307, 2012.
- [10] W. Yu, L. Shen, P. Shen, F. Meng, Y. Long, Y. Wang, T. Lv, S. Ruan, and G. Chen. Simultaneous improvement in efficiency and transmittance of low bandgap semitransparent polymer solar cells with one-dimensional photonic crystals. *Solar Energy Materials and Solar Cells*, 117:198–202, 2013.
- [11] W. Yu, S. Ruan, Y. Long, L. Shen, W. Guo, and W. Chen. Light harvesting enhancement toward low IPCE region of semitransparent polymer solar cells via one-dimensional photonic crystal reflectors. *Solar Energy Materials and Solar Cells*, 127:27–32, 2014.
- [12] R. R. Lunt and V. Bulovic. Transparent, near-infrared organic photovoltaic solar cells for window and energy-scavenging applications. *Applied Physics Letters*, 98(11):113305, 2011.
- [13] M. Kaliteevski, I. Iorsh, S. Brand, R. A. Abram, J. M. Chamberlain, A. V. Kavokin, and I. A. Shelykh. Tamm plasmon-polaritons: Possible electromagnetic states at the interface of a metal and a dielectric Bragg mirror. *Physical Review B*, 76(16):165415, 2007.
- [14] X. L. Zhang, J. F. Song, X. B. Li, J. Feng, and H. B. Sun. Optical Tamm states enhanced broad-band absorption of organic solar cells. *Applied Physics Letters*, 101(24):243901, 2012.
- [15] S. Y. Vetrov, R. G. Bikbaev, and I. V. Timofeev. Optical Tamm states at the interface between a photonic crystal and a nanocomposite with resonance dispersion. *Journal of Experimental and Theoretical Physics*, 117(6):988–998, 2013.
- [16] S. Y. Vetrov, R. G. Bikbaev, and I. V. Timofeev. The optical Tamm states at the edges of a photonic crystal bounded by one or two layers of a strongly anisotropic nanocomposite. *Optics Communications*, 395:275–281, 2017.
- [17] R. Bikbaev, S. Vetrov, and I. Timofeev. Epsilon-Near-Zero Absorber by Tamm Plasmon Polariton. *Photonics*, 6(1):28, 2019.
- [18] K. Kim and D. L. Carroll. Roles of Au and Ag nanoparticles in efficiency enhancement of poly(3-octylthiophene)/C60 bulk heterojunction photovoltaic devices. *Applied Physics Letters*, 87(20):203113, 2005.

- [19] B. Wu, X. Wu, C. Guan, K. Fai Tai, Edwin Kok Lee Yeow, H. Jin Fan, N. Mathews, and T. C. Sum. Uncovering loss mechanisms in silver nanoparticle-blended plasmonic organic solar cells. *Nature Communications*, 4(1):2004, 2013.
- [20] C. Stelling, C. R. Singh, M. Karg, Tobias A F König, M. Thelakkat, and M. Retsch. Plasmonic nanomeshes: their ambivalent role as transparent electrodes in organic solar cells. *Scientific Reports*, 7(1):42530, 2017.
- [21] C. W. Chen, S. Y. Hsiao, C. Y. Chen, H. W. Kang, Z. Y. Huang, and H. W. Lin. Optical properties of organometal halide perovskite thin films and general device structure design rules for perovskite single and tandem solar cells. *J. Mater. Chem. A*, 3(17):9152–9159, 2015.
- [22] J. C. Maxwell-Garnett. Colours in metal glasses, in metallic films, and in metallic solutions. II. *Philos. R. Soc. London*, 205:237–288, 1906.
- [23] P. Yeh. Electromagnetic propagation in birefringent layered media. *Journal of the Optical Society of America*, 69(5):742, 1979.
- [24] A. M. Vyunishev, R. G. Bikbaev, S. E. Svyakhovskiy, I. V. Timofeev, P. S. Pankin, S. A. Evlashin, S. Y. Vetrov, S. A. Myslivets, and V. G. Arkhipkin. Broadband Tamm plasmon polariton. *J. Opt. Soc. Am. B*, 36(8):2299–2305, 2019.